

愛媛大学工学部 正員 中村 孝幸
愛媛大学大学院。学生員 谷 浩明

1. まえがき：既に著者らは¹⁾ 軸対称グリーン関数を用いた任意な軸対称物体まわりの波高分布並びに波圧分布の算定法について明らかにし、直円柱および半潜水円柱を対象に MacCamy らや境界接続法による Black の算定結果との比較の上で算定法の妥当性を検証した。こゝに引き継ぎ本研究ではこの解析法に基づき、内部に十分な利用スペースを有する海洋土木工事の施工並びに外洋での養殖漁業の開発を容易ならしめると考えられる環状浮体を対象に、その水理学的な機能と理論的に検討したものである。また工学設計の目的から環状浮体まわりの波圧分布が必要となるが、こゝにても浮体の遮蔽効果を含め明らかにした。

2. 環状物体まわりの回析波問題：(1) 波高分布並びに波圧分布の算定法：固定された環状浮体に速度ボテンシャル ϕ と有する微少振幅が入射してとき生成される回析波がテンシャル ψ は、考えてこゝの場の境界条件を満足するフーリエ級数 $\sum \phi_m \cos m\theta$ と未知関数 f_m を用いて(1)式のように表示できる。

$$\phi_m(x, y, z) = \frac{1}{4\pi} \iint A(x, y, z) f_m(x, y, z; x, Y, Z) dA(x, Y, Z) \quad (1)$$

こゝで $A(x, Y, Z)$ はわき出しが分布させた物体表面であり、 (x, y, z) は内を求めるようとする点である。本研究で取り扱う軸対称物体では、内、外と物体まわりフーリエ余弦展開でき、各フーリエモード m についてのフーリエ係数 ϕ_m と f_m に関する運動学的境界条件よりフーリエモード m のわき出しが分布関数 f_m が決定される。そしてこゝの f_m を用い、(1)式を介して任意点の回析波 ψ テンシャル ψ は(2)式のよう表示できる。

$$\phi_m(r, \theta, z) = \frac{1}{2} \sum_m \left[\int f_m(R, Z) G_m ds \right] \cos m\theta = \sum_m \phi_m \cos m\theta \quad (2)$$

こゝで S は物体の回転曲線である。そして本研究では、任意形状を対象とするこゝから回転曲線 S を複素平面上に分割して中央点近似による数值積分により以下の算定を行なう。こゝ式より任意点の ϕ_m が求めれば、入射波と回析波の合成振幅 ψ は(3)式で、物体表面上での変動波圧の振幅 P は(4)式で求められる。

$$\psi(r, \theta, z=0) = -\frac{i\omega}{g} (\phi_r + \sum_m \phi_m \cos m\theta)_{z=0} \quad (3)$$

$$P(R, \theta, Z) = -\frac{i\omega}{g} (\phi_r + \sum_m \phi_m \cos m\theta) / \text{物体表面} \quad (4)$$

3) 算定結果：まず最初に ϕ_m の収束性を検討するため、図-1に示す中空円柱を対象に $\phi_m / \sum_m \phi_m$ と M による変化を調べてみる。こゝを各 D/L ごとに示すのが図-2である。これより ϕ_m は M の増大につれて急速に収束し、その収束は D/L が小さいほどよいことがわかる。本研究では実用的目的的観点より $\phi_m / \sum_m \phi_m$ が 1% 以下となる M を ϕ_m の無限級数和の上限値として採用し、(2)式の ϕ_m を求めるとしている。図-3は各 D/L について中空円柱の中心を通る入射軸上の合成振幅の変動を入射波の振幅 A で無次元化して示すものである。こゝより入射波に対しても十分な遮蔽効果を持つのは D/L の値が 1.31 まで、こゝより小さなと堤体内で重複波浪形に近くなり $D/L = 0.39$ の値を極値として増加され、さらには $D/L = 0.30$ では一様に変動していふ。

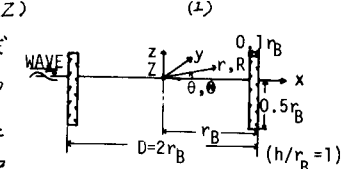


図-1 中空円柱

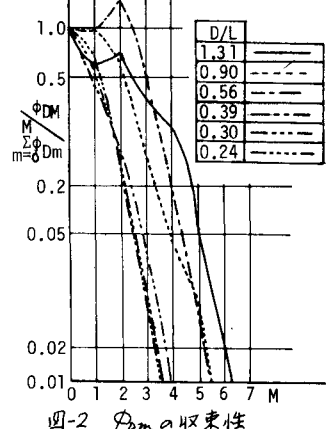
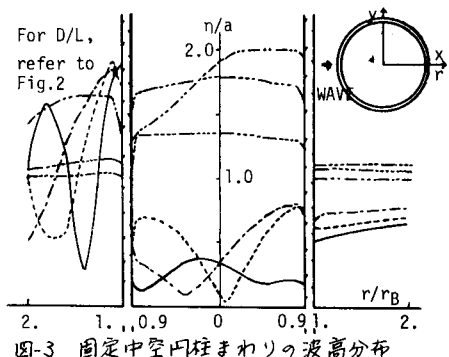
図-2 ϕ_m の収束性

図-3 固定中空円柱まわりの波高分布

とがわかる。一方、図4は中空円柱まわりの波圧分布に基づき入射波方向から 10° 度とK区切られた各断面に作用する局部波力の振幅の分布を示すものである。これより波力分布は堤体まわりの波高分布の影響を大きく受け、またD/Lが小さくなるにつれて各断面の局部波力の差が少なくなることがわかる。

3. 環状浮体の運動に基づく発散波問題：水深hの静止流体中で環状浮体が重心まわりK角振動数 ω^2 で surging, heaving, pitching運動する時K発生する発散波並びに波圧分布は上記2.の回析波問題の解析法と類似した手法により求めることができます。

この場合 解析の大きな相違点は

①発散波並びにシャル因子を求める際の運動学的境界条件

② X_m のmについて heaving 運動の場合0のままで、surging, pitching 運動の場合1のままでよいことである。

図5, 6, 7は その一例として図に示す環状浮体が各運動を行なうとその本解析法によると物体まわりの波高分布並びに前述の局部波力の分布を無次元振動数 n/X_1 を変化させて示すものである。これらの図よりsurging運動による堤体内の深高は heaving, pitching運動の場合に比べてはるかに大きいことがわかる。また surging, pitching運動では同じ n/X_1 の値で波高の極値を示すなど類似した傾向が見られるが、heaving運動では異なった n/X_1 で極値を示し その波高分布も他の運動に比べて複雑であることがわかる。また波力分布では 全運動において水平波力分布と波高分布と同じ傾向が見られる。従って波力が極値を示す振動数とともに入射波については 設計にあたり十分な注意を払う必要がある。

4. 結語：以上 軸対称グリーン関数を用いた環状浮体まわりの波高分布並びに波圧分布の算定を行なっておいた。そして環状浮体では回析波問題において入射波の周期によらず堤体内外の波高が逆に増やされるなど、発散波問題では物体形状に応じて固有振動数に似かよ、たれ値が大きな波高と波圧を示すことなど、新たなる知見が得られた。今後さらに実験的方面より検証を加え、物体の形状をさらに変化させて堤体内外の静擾乱を目的とした解析を進めていきたい。

(参考文献)

- 1) 中村孝幸・谷 浩明：わき出し分布法による直内柱まわりの波高と波圧分布の算定法、土木学会中四国支部年次学術講演会概要集、1982年5月

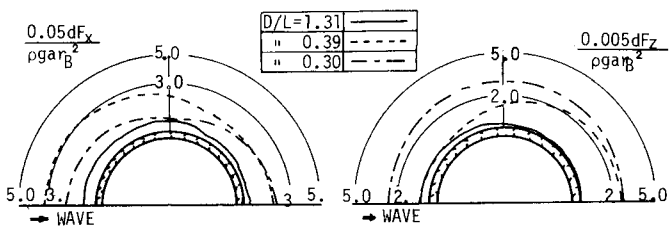


図4 固定中空円柱まわりの波力分布

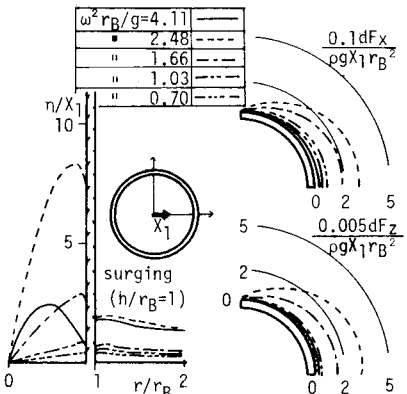


図5 発散波並びに波力分布(surging)

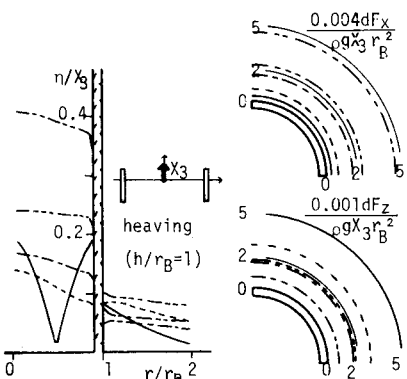


図6 発散波並びに波力分布(heaving)

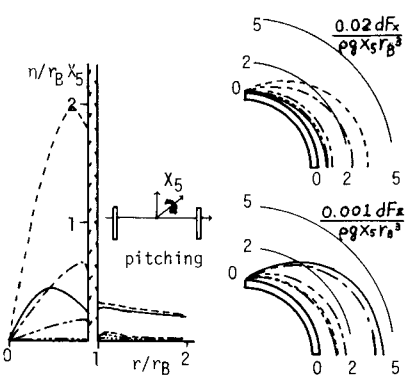


図7 発散波並びに波力分布(pitching)